



MODEL PRO NÁHODNÉ SJEDNOCENÍ INTERAGUJÍCÍCH KRUHŮ

Kateřina Helisová*, Jesper Møller**

*Univerzita Karlova v Praze/České vysoké učení technické v Praze, ČR

**Aalborg University, Dánsko

helisova@karlin.mff.cuni.cz



SOUHRN

Poster shrnuje statistické výsledky z [2] týkající se analýzy obrazu keřů vřesu. Ty byly modelovány jako náhodná množina daná konečným sjednocením kruhů se středy v omezené množině $S \subset \mathbb{R}^2$, mezi nimiž se vyskytují vzájemné interakce.

HUSTOTA KONFIGURACE

Označme $b = b(z, r)$ kruh se středem v bodě $z \in \mathbb{R}^2$ a poloměrem $r \in (0, \infty)$. Ztotožníme-li b s bodem $x = (z, r) \in \mathbb{R}^2 \times (0, \infty)$, pak sjednocení $\cup_{i \in I} b_i = \cup_{i \in I} b(z_i, r_i)$, $I \subseteq \mathbb{N}$, můžeme ztotožnit s bodovým procesem na $\mathbb{R}^2 \times (0, \infty)$.

Vztažný proces: Poissonův bodový proces Y (tj. vztažný Booleovský model je náhodná množina daná sjednocením kruhů odpovídajících procesu Y) s mírou intenzity $\rho(z) dz Q(dr)$ na $\mathbb{R}^2 \times (0, \infty)$, kde ρ značí funkci intenzity bodového procesu středu a Q je rozdělení poloměrů kruhů.

Model: Sjednocení kruhů odpovídající bodovému procesu \mathbf{X} , který je absolutně spojitý vzhledem k Poissonovu procesu Y a je vzhledem k němu daný hustotou $f(\mathbf{x})$ pro konečnou konfiguraci bodů $\mathbf{x} = \{x_1, \dots, x_n\}$.

Předpoklad: \mathbf{X} je konečný bodový proces definovaný na $S \times (0, R)$, kde $S \subset \mathbb{R}^2$ je omezená množina taková, že $\int_S \rho(z) dz > 0$, a $R < \infty$.

$$\text{Tvar hustoty: } f_\theta(\mathbf{x}) = \frac{1}{c_\theta} \exp(\theta_1 A(\mathcal{U}_\mathbf{x}) + \theta_2 L(\mathcal{U}_\mathbf{x}) + \theta_3 N_{cc}(\mathcal{U}_\mathbf{x}) + \theta_4 N_h(\mathcal{U}_\mathbf{x}))$$

$\theta = (\theta_1, \theta_2, \theta_3, \theta_4)$... vektor parametrů, c_θ ... normovací konstanta,

$A(\mathcal{U}_\mathbf{x})$... plocha sjednocení kruhů odpovídajících konfiguraci \mathbf{x} ,

$L(\mathcal{U}_\mathbf{x})$... obvod sjednocení kruhů odpovídajících konfiguraci \mathbf{x} ,

$N_{cc}(\mathcal{U}_\mathbf{x})$... počet spojitéch komponent sjednocení kruhů odpovídajících \mathbf{x} ,

$N_h(\mathcal{U}_\mathbf{x})$... počet dér sjednocení kruhů odpovídajících \mathbf{x} .

ODHAD PARAMETRŮ

Mějme pozorování $\mathcal{U}_\mathbf{x}$ a pišme hustotu ve tvaru $f_\theta(\mathbf{x}) = h_\theta(\mathbf{x})/c_\theta$.

Logaritmicko-věrohodnostní funkce: $l(\theta) = \theta_1 A(\mathcal{U}_\mathbf{x}) + \theta_2 L(\mathcal{U}_\mathbf{x}) + \dots - \log c_\theta$.

Problém: c_θ nemá explicitní vyjádření.

Řešení: Pro pevný vektor θ_0 lze maximalizovat poměr věrohodnosti

$$l(\theta) - l(\theta_0) = \log(h_\theta(\mathbf{x})/h_{\theta_0}(\mathbf{x})) - \log(c_\theta/c_{\theta_0}),$$

$$l(\theta) - l(\theta_0) = \log(h_\theta(\mathbf{x})/h_{\theta_0}(\mathbf{x})) - \log \frac{1}{n} \sum_{m=0}^{n-1} h_\theta(Z_m)/h_{\theta_0}(Z_m),$$

kde Z_m jsou realizace z hustoty $f_{\theta_0}(\mathbf{x})$ získané pomocí MCMC simulací.

WALDŮV TEST

$H : \theta M = 0$, kde M je $p \times k$ -rozměrná matici hodnoty k a p je délka vektoru θ .

Waldova statistika $(\hat{\theta}M)(M^T j(\hat{\theta})^{-1}M)(\hat{\theta}M)^T$ má asymptoticky χ_k^2 -rozdělení.

Platí $H' : \theta_i = 0 \iff H : \theta M = 0$, kde M je $p \times 1$ -rozměrná matici se všemi prvky rovnými nule kromě i -tého, který je roven 1.

DATA



Obrázek 1: Keře vřesu (označené černou bavou) na ploše 10×20m v Jädraås ve Švédsku (data z roku 1981).

Vztažné procesy

• $\rho = 2.45$ a Q má rozdělení $N(0.26, 0.16^2)$ zúžené na interval $[0, 0.50]$ (R1),

• $\rho = 2.45$ a Q má rovnoměrné rozdělení na intervalu $[0, 0.53]$ (R2),

• $\rho = 1.16$ a Q má rovnoměrné rozdělení na intervalu $[0, 0.53]$ (R3).

Odhady parametrů a Waldův test na datech

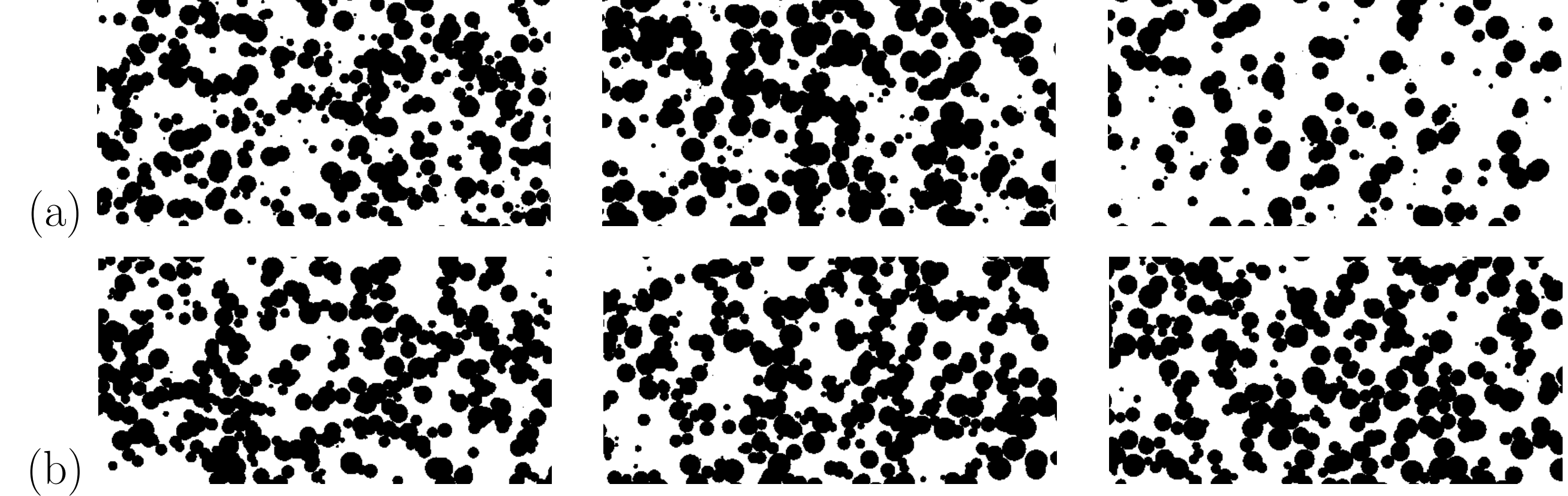
	θ_1	θ_2	θ_3	θ_4
(R1)	-2.14	0.89	-1.78	-1.01
Wald	7.45	17.89	48.96	2.14
(R2)	-4.81	1.17	-2.26	-0.69
Wald	37.04	29.77	83.66	1.01
(R3)	-3.67	1.62	-2.25	-0.13
Wald	17.01	46.67	73.01	0.04

Kritická hodnota $\chi_1^2(0.95) = 3.842 \Rightarrow \theta_4 = 0 \Rightarrow N_h$ z hustoty vypustíme.

	θ_1	θ_2	θ_3
(R1)	-2.33	0.92	-1.77
Wald	9.54	21.01	46.89
(R2)	-4.91	1.18	-2.25
Wald	38.02	32.33	78.78
(R3)	-3.71	1.64	-2.25
Wald	17.04	47.11	73.89

Všechny parametry označené za nenulové \Rightarrow konečné hodnoty parametrů v modelu.

SIMULACE



Obrázek 2: Simulace (a) vztažných Booleovských modelů (R1)-(R3) (zleva doprava) a (b) fitovaných (A, L, N_{cc})-interakčních modelů vzhledem ke vztažným procesům (R1)-(R3) (rovněž zleva doprava).

TESTOVÁNÍ VHODNOSTI MODELU

Nechť $\mathbf{A} \subset \mathbb{R}^2$ je množina pozorovaná v (omezeném) okně $W \subset \mathbb{R}^2$ a G je množina pixelů digitálního záznamu \mathbf{A} .

Normovaná sférická kontaktní distribuční funkce

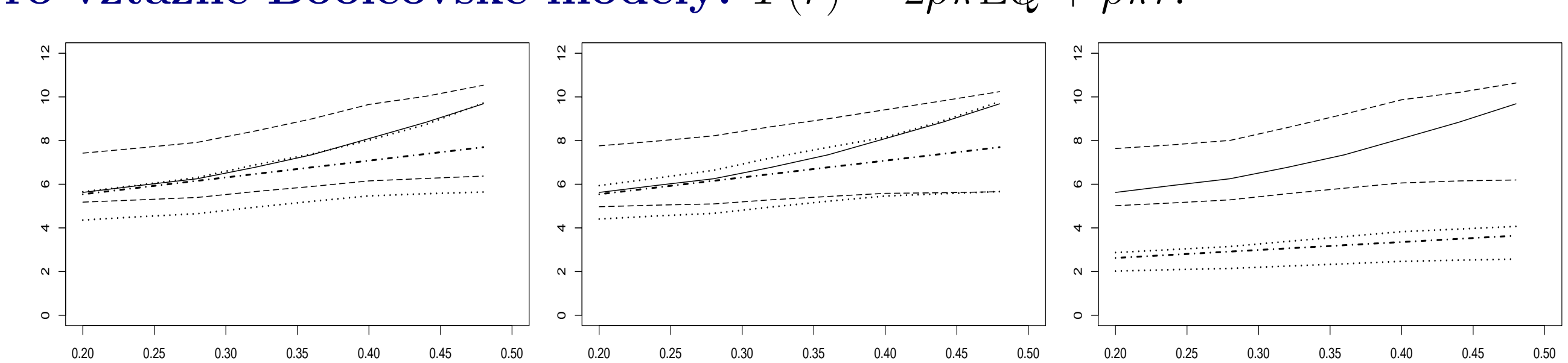
Nechť $D = \inf\{r \geq 0 : \mathbf{A} \cap b(0, r) \neq \emptyset\}$.

Sférická kontaktní distribuční funkce: $H(r) = P(D \leq r | D > 0)$, $r \geq 0$.

Neparametrický odhad: $\hat{H}(r) = \frac{\sum_{u \in G} \mathbf{1}_{[u \notin \mathbf{A}, u+b(0,r) \subset W, (u+b(0,r)) \cap \mathbf{A} \neq \emptyset]} }{\sum_{u \in G} \mathbf{1}_{[u \notin \mathbf{A}, u+b(0,r) \subset W]}}$.

Normovaná sférická kontaktní distribuční funkce: $T(r) = -\frac{1}{r} \log(1 - H(r))$.

Pro vztažné Booleovské modely: $T(r) = 2\rho\pi EQ + \rho\pi r$.



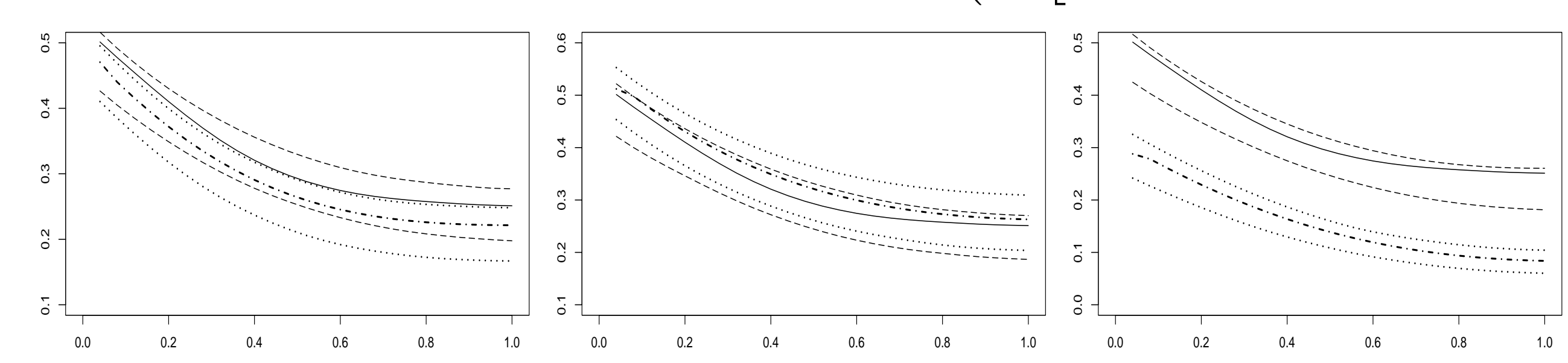
Obrázek 3: Odhad $\hat{T}(r)$ získaný z dat (plná křivka), teoretická $T(r)$ pro Booleovský model (čerchovaná křivka), 2.5 % a 97.5 % obálky získané z 39 simulací Booleovského modelu (tečkaná křivka) a 2.5 % a 97.5 % obálky získané z 39 simulací fitovaného modelu (čárkovaná křivka) pro vztažné procesy (zleva doprava) (R1)-(R3).

Kovarianční funkce

Kovarianční funkce: $C(r) = P(u \in \mathbf{A}, v \in \mathbf{A})$ pro $u, v \in \mathbb{R}^2 : \|u - v\| = r$.

Neparametrický odhad: $\hat{C}(r) = \frac{\sum_{u,v \in G} \mathbf{1}_{[\|u-v\|=r, \{u,v\} \subseteq \mathbf{A}]}}{\sum_{u,v \in G} \mathbf{1}_{[\|u-v\|=r]}}$.

Booleovské modely: $C(r) = 2p - 1 + (1-p)^2 \exp\left(pE\left[2Q^2 \arccos\frac{Q}{2r} - \frac{r}{2}\sqrt{4Q^2 - r^2}\right]\right)$.

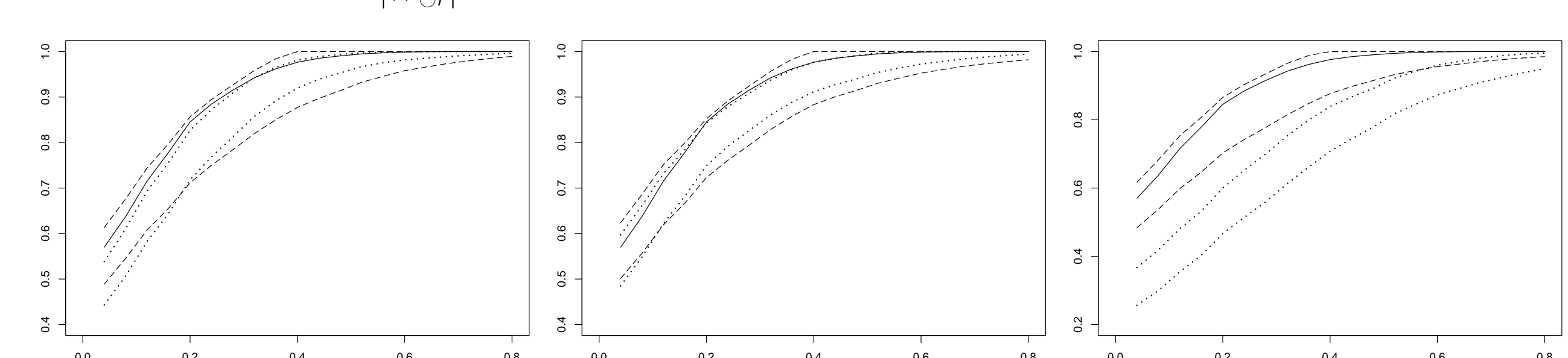


Obrázek 4: Odhad $\hat{C}(r)$ získaný z dat (plná křivka), teoretická $C(r)$ pro Booleovský model (čerchovaná křivka), 2.5 % a 97.5 % obálky získané z 39 simulací Booleovského modelu (tečkaná křivka) a 2.5 % a 97.5 % obálky získané z 39 simulací fitovaného modelu (čárkovaná křivka) pro vztažné procesy (zleva doprava) (R1)-(R3).

Dilatace množiny

Nechť $\mathbf{A}_{\oplus r} = \cup_{u \in \mathbf{A}} b(u, r)$ je zvětšení a $\mathbf{A}_{\ominus r} = \{u : b(u, r) \subseteq \mathbf{A}\}$ zmenšení množiny \mathbf{A} o hodnotu r .

Dilatace: $d(r) = \frac{|\mathbf{A}_{\oplus r} \cap W_{\ominus r}|}{|\mathbf{W}_{\ominus r}|}$.



Obrázek 5: Dilatace dat (plná křivka), 2.5 % a 97.5 % obálky získané z 39 simulací Booleovského modelu (tečkaná křivka) a 2.5 % a 97.5 % obálky získané z 39 simulací fitovaného modelu (čárkovaná křivka) pro vztažné procesy (zleva doprava) (R1)-(R3).

Poděkování: Výzkum byl podporován granty GAČR 201/06/0302 a GAČR 201/05/H007 a grantem 272-06-0442 "Point process modelling and statistical inference" (Danish Natural Science Research Council).

Literatura

[1] MØLLER, J., HELISOVÁ, K. (2008). Power diagrams and interaction processes for unions of discs. *Advances in Applied Probability*, 40(2), 321–347.

[2] MØLLER, J., HELISOVÁ, K. (2008). Likelihood inference for unions of interacting discs. *Připravuje se*.

[3] MØLLER, J., WAAGEPETERSEN, R. P. (2003). *Statistical Inference and Simulation for Spatial Point Processes*. Chapman and Hall/CRC, Boca Raton.